

COMPITO DI CONTROLLI AUTOMATICI
Ingegneria dell'Informazione
8 Febbraio 2019

Esercizio 1. [10 punti] Data la funzione di trasferimento

$$G(s) = \frac{(1 + 10s)(1 + s^2)}{s(1 - 10s)(1 + s)},$$

- i) si determini il diagramma di Bode (modulo e fase) della risposta in frequenza del sistema;
- ii) si determini il diagramma di Nyquist di $G(j\omega)$ per $\omega \in \mathbb{R}$, calcolando eventuali asintoti ed intersezioni con gli assi, e si studi attraverso il criterio di Nyquist la stabilità BIBO del sistema retroazionato

$$W(s) = \frac{KG(s)}{1 + KG(s)},$$

al variare di K in \mathbb{R} , $K \neq 0$.

Esercizio 2. [9 punti] Dato il sistema di funzione di trasferimento

$$G(s) = \frac{s^2 + 2s + 2}{(s - 1)^2 \left(s + \frac{1}{3}\right)}$$

se ne traccino i luoghi positivo e negativo, evidenziandone punti doppi, asintoti ed intersezioni con l'asse immaginario, e studiando quindi la BIBO stabilità di $W(s) = \frac{KG(s)}{1+KG(s)}$ al variare di K reale.

Esercizio 3. [2+2+2 punti] Si consideri il processo di funzione di trasferimento NON BIBO stabile

$$G(s) = \frac{10}{(1 - s) \left(1 + \frac{s}{10}\right)}.$$

È richiesto di

- progettare, adottando le solite regole della sintesi per tentativi (ovvero le regole che sarebbe corretto adottare se $G(s)$ fosse BIBO stabile) un controllore di tipo PD che renda il sistema retroazionato di tipo 0 con errore a regime al gradino soddisfacente $e_{rp}^{(1)} \simeq 10^{-2}$ e attribuisca alla funzione di trasferimento in catena aperta $C(s)G(s)$ pulsazione di attraversamento $\omega_A \simeq 10^4$ rad/s;
- verificare, attraverso il diagramma di Nyquist di $C(s)G(s)$ che $W(s)$ risulta instabile (si noti infatti che avendo $G(s)$ un polo reale positivo non sono soddisfatte le ipotesi del criterio di Bode e quindi il margine di fase positivo di $C(s)G(s)$ non è garanzia della stabilità BIBO della funzione di trasferimento in catena chiusa);

- modificare il segno del guadagno di Bode e/o dello zero del controllore $C(s)$, verificando che le specifiche su $e_{rp}^{(1)}$ e ω_A rimangono soddisfatte comunque siano scelti tali due segni, ma $W(s)$ risulta BIBO stabile solo in corrispondenza ad una scelta ben precisa dei due segni.

Teoria. [4+2 punti] Sia $G(s) \in \mathbb{R}(s)$ una funzione razionale propria con guadagno di Evans $K_E = 1$, ovvero

$$G(s) = \frac{n(s)}{d(s)},$$

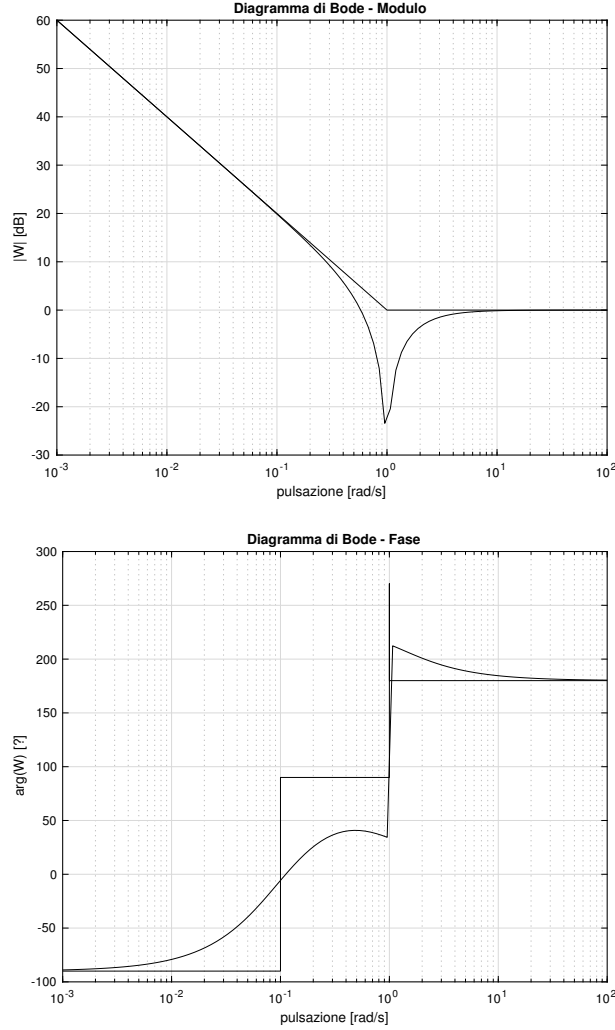
con $n(s), d(s) \in \mathbb{R}[s]$ monici e $\deg d(s) \geq \deg n(s)$. Si enunci e dimostri la regola che determina quali punti dell'asse reale appartengono al luogo positivo e al luogo negativo di $G(s)$.

Si dimostri che se tutti gli zeri di $G(s)$ hanno parte reale negativa e il grado relativo (differenza tra numero di poli e di zeri) di $G(s)$ è 2 (ovvero la differenza tra grado del denominatore e grado del numeratore in una rappresentazione di $G(s)$ è pari a 2), allora è possibile rendere il sistema retroazionato $W(s)$ BIBO stabile attraverso il ricorso ad un controllore PID $C(s)$.

[Suggerimento: si determinino condizioni che garantiscono che tutti i rami di uno dei due luoghi associati a $C(s)G(s)$ prima o poi siano dentro al semipiano reale negativo]

SOLUZIONI

Esercizio 1. i) e ii) I diagrammi di Bode di modulo e fase sono riportati qui di seguito.

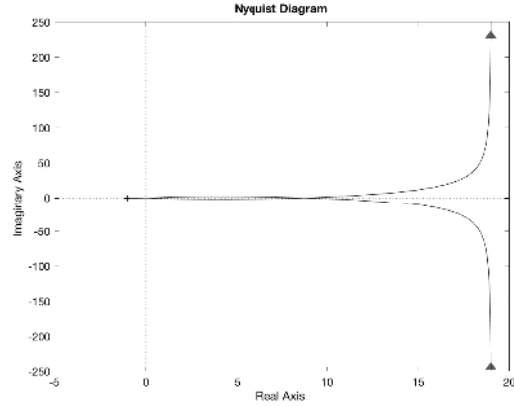


Lo studio di $G(j\omega)$ conduce a

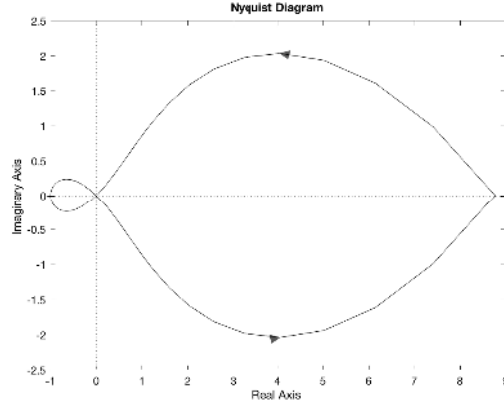
$$G(j\omega) = \frac{1 - \omega^2}{(1 + \omega^2)(1 + 100\omega^2)} \left[(19 + 100\omega^2) + j \frac{80\omega^2 - 1}{\omega} \right].$$

Limitandoci alle pulsazioni positive, la parte reale è positiva per $0 < \omega < 1$, si annulla per $\omega = 1$, mentre è negativa per $\omega > 1$. Invece la parte immaginaria ha due zeri: uno per $\omega = 1/\sqrt{80}$ e uno per $\omega = 1$. Essa è negativa per $0 < \omega < 1/\sqrt{80}$ e per $\omega > 1$, e positiva per $1/\sqrt{80} < \omega < 1$. Per $\omega = 1/\sqrt{80}$ la parte immaginaria è nulla mentre la parte reale vale $8.7778 = \frac{79}{9}$.

Se valutiamo il limite della parte reale per $\omega \rightarrow 0^+$ troviamo 19. Infine, la parte immaginaria si annulla per $\omega \rightarrow +\infty$, mentre la parte reale tende a -1 . Queste considerazioni permettono di tracciare il seguente diagramma di Nyquist:



e il suo dettaglio in un intorno dell'origine:



Aggiungendo il cerchio all'infinito per il polo nell'origine e valutando la posizione di Nyquist rispetto al punto $-\frac{1}{k}$, e notando che $n_{G+} = 1$, si ottiene quindi $n_{W+} = n_{G+} - N = 1 - N$, da cui

- Per $k < -\frac{9}{79}$ si ha $N = 1, n_{W+} = 0$ (3 poli a parte reale negativa);
- per $k = -\frac{9}{79}$ si hanno 2 poli immaginari $\pm i \frac{1}{4\sqrt{5}}$ ed 1 negativo per continuità dai casi contigui $s = -\frac{9}{11}$;
- per $-\frac{9}{79} < k < 0$ si ha $N = -1, n_{W+} = 2$ (2 poli a parte reale positiva ed 1 negativo);
- per $0 < k < 1$ si ha $N = 0, n_{W+} = 1$ (1 polo positivo e 2 a parte reale negativa);
- per $k = 1$ la $W(s)$ diventa impropria con 1 polo positivo ed 1 negativo per continuità dai casi contigui;
- per $k > 1$ si ha $N = -1, n_{W+} = 2$ (2 poli a parte reale positiva ed 1 negativo).

Esercizio 2. Si noti, preliminarmente che $n = 3$ e $m = 2$, quindi sia luogo positivo che negativo avranno un solo ramo che va al punto improprio, nel luogo positivo con direzione

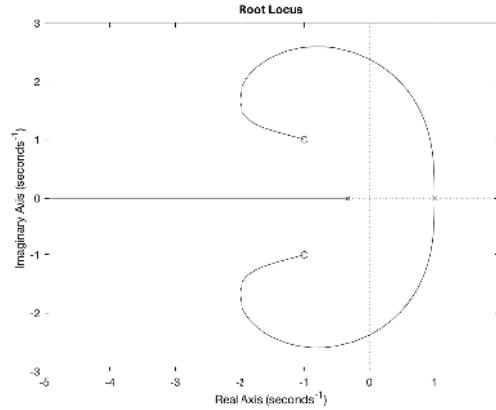
π , nel luogo negativo con direzione 0. L'equazione dei punti doppi porge, dopo alcuni calcoli

$$(s - 1)s(3s^2 + 15s + 22) = 0$$

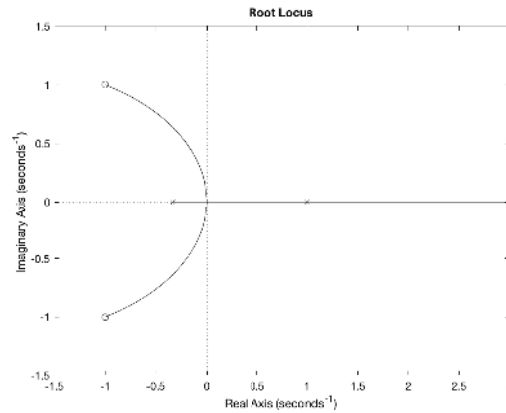
e ciò permettere di determinare il punto doppio banale ($s = 1, K = 0$) ed il punto doppio ($s = 0, K = -\frac{1}{6}$). Altri non ce ne sono visto che l'equazione ha altre 2 radici complesse e non possono esserci punti doppi complessi avendo $G(s)$ grado minore di 4. Le intersezioni con l'asse immaginario (ponendo $s = j\omega$ in $d(s) + Kn(s) = 0$)

$$j\omega(6K + 1 - 3\omega^2) + [5\omega^2 + 1 + 3K(2 - \omega^2)] = 0$$

La parte immaginaria si annulla per $\omega = 0$, che implica $K = -\frac{1}{6}$ annullando anche la parte reale, ritrovando così il punto doppio non banale. Ma si annulla anche per $\omega^2 = 2K + \frac{1}{3}$, che sostituita nella parte reale che va anch'essa annullata, porge $18K^2 - 45K - 8 = 0$, che implica $K = -\frac{1}{6}, \frac{8}{3}$. Il primo valore è già stato trovato ed implica ($s = \pm j\omega = 0, K = -\frac{1}{6} < 0$), mentre il secondo implica ($s = \pm j\omega = \pm i\sqrt{\frac{17}{3}}, K = \frac{8}{3} > 0$). Nel luogo positivo due rami complessi coniugati partono dal polo doppio $s = 1$ ed attraversano l'asse immaginario per $K = \frac{8}{3}$, dirigendosi poi verso i due zeri complessi coniugati, mentre il terzo ramo si muove sull'asse reale dal polo $s = -\frac{1}{3}$ verso $-\infty$.

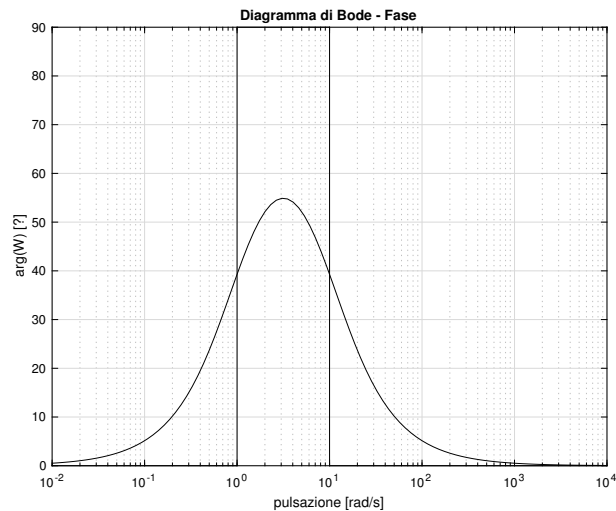
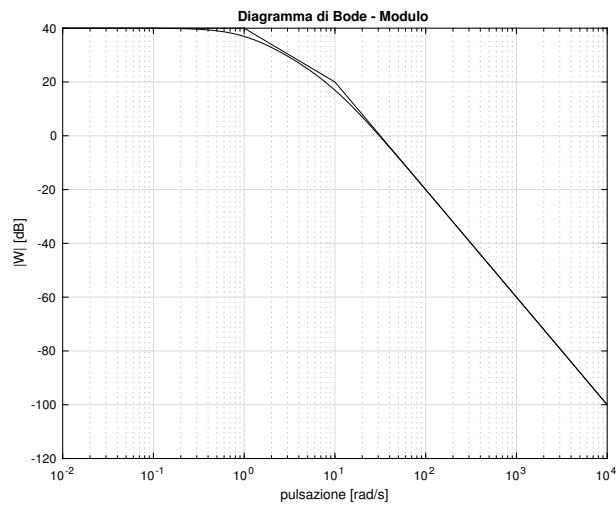


Nel luogo negativo un ramo si muove sull'asse reale da $s = 1$ verso $+\infty$, mentre un altro ramo si muove dallo stesso polo verso sinistra, mentre il terzo ramo si muove dal polo $s = -\frac{1}{3}$ verso destra, e tali 2 rami si incontrano per $K = -\frac{1}{6}$ nel punto doppio $s = 0$, che rappresenta anche l'unico punto ammissibile in cui il luogo tocca l'asse immaginario, per cui dopo i due rami escono sul piano complesso e si dirigono verso la coppia di zeri complessi coniugati restando nel semipiano sinistro.



Quindi si ha BIBO stabilità di $W(s)$ per $K > \frac{8}{3}$, mentre per $k < 0$ non si ha mai BIBO stabilità.

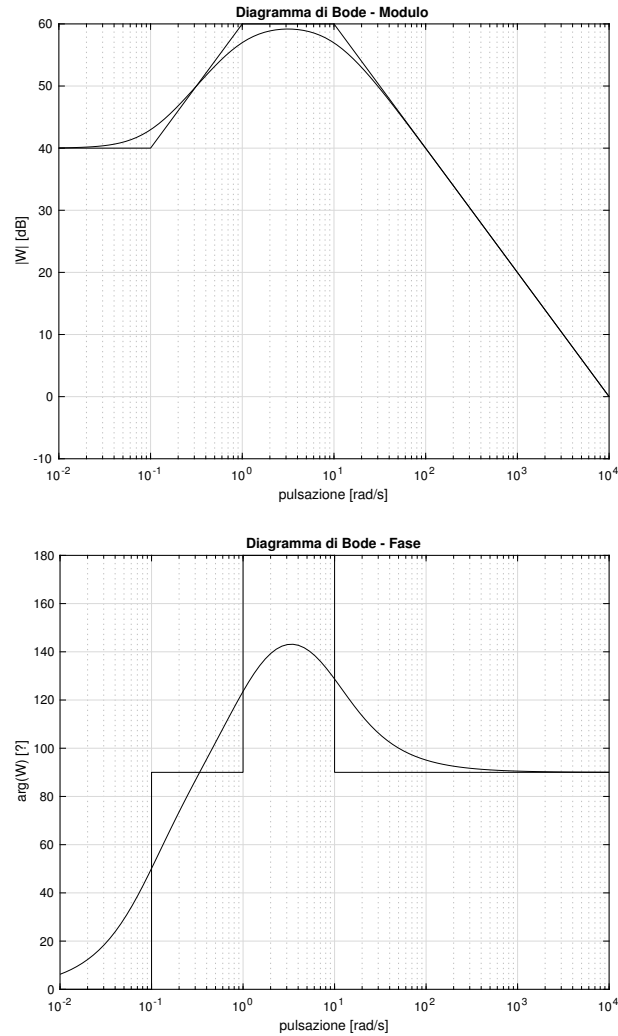
Esercizio 3. Anzitutto è necessario assumere $C'(s) = 10$ per sistemare l'errore al gradino. A questo punto il diagramma di Bode di $C'(s)G(s)$, qui di seguito riportato,



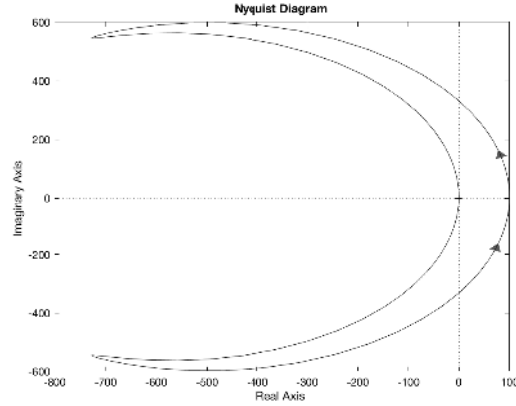
evidenzia che dobbiamo alzare il modulo di 100 dB per ottenere come pulsazione di taglio $\omega_A^* = 10^4$, il che si ottiene piazzando uno zero 5 decadi prima di ω_A e quindi

$$C(s) = 10(1 + 10s) \Rightarrow C(s)G(s) = \frac{100(1 + 10s)}{(1 - s) \left(1 + \frac{s}{10}\right)}.$$

I diagrammi di Bode risultano:



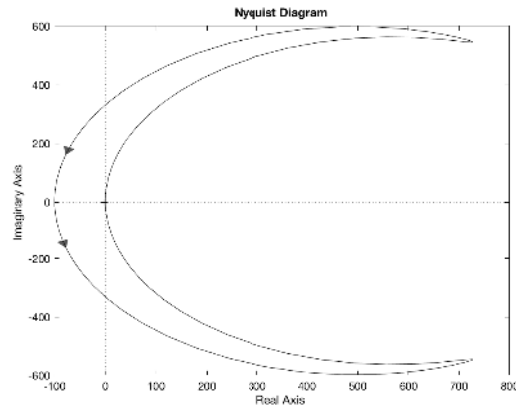
Il diagramma di Nyquist



evidenzia come non venga fatto alcun giro attorno al punto critico $-1 + j0$, per cui $n_{W+} = n_{G+} = 1$ ed il sistema risulta instabile. Cambiando segno a guadagno e/o zero, il modulo di Bode non cambia, quindi entrambe le specifiche rimangono rispettate. Tuttavia, cambiando il segno dello zero, se non cambiamo segno a K_B i giri non cambiano, mentre se cambiamo segno anche a K_B risulta $N = -1$, per cui in ogni caso $W(s)$ è instabile. Ma se cambiamo segno solo a K_B , risulta $N = 1$ da cui la BIBO stabilità di $W(s)$. Quindi la scelta corretta è

$$C(s) = -10(1 + 10s)$$

a cui corrisponde il diagramma di Nyquist



Teoria. Per la regola su quali punti dell'asse reale appartengano al luogo si veda il libro di testo, Capitolo 8, pagine 228-229.

Nel caso in cui $G(s) = \frac{n(s)}{d(s)}$ abbia $\deg d(s) = \deg n(s) + 2$, il ricorso ad un controllore PID in cui tutti i tre parametri siano non nulli

$$C(s) = \frac{K_i}{s}(1 + sT_1)(1 + sT_2)$$

porta ad un incremento del numero degli zeri pari a 2 e introduce un polo in 0. Ciò significa che

$$C(s)G(s) = K_i \frac{n(s)(1 + sT_1)(1 + sT_2)}{s \cdot d(s)}$$

ha ora denominatore il cui grado eccede di 1 il grado del numeratore. Se scegliamo T_1 e T_2 positivi, la funzione di trasferimento in catena aperta avrà tutti gli zeri a parte reale negativa e quindi nel luogo positivo associato a tale funzione avremo un ramo che va a $-\infty$ e gli altri che vanno agli zeri. Se tali zeri sono stabili a partire da un certo valore in poi tutti i rami sono nel semipiano reale negativo, il che assicura la BIBO stabilità del sistema retroazionato. Quindi basta scegliere $K_i > 0$ e di modulo molto grande per essere sicuri che

$$W(s) = \frac{C(s)G(s)}{1 + C(s)G(s)}$$

risulti BIBO stabile.